

**ԵՐԵՎԱՆԻ ՊԵՏԱԿԱՆ ՀԱՍՏԱՏՄԱՆ ԳԻՏԱԿԱՆ ՏԵՂԵԿԱԳԻՐ
УЧЕНЫЕ ЗАПИСКИ ЕРЕВАНСКОГО ГОСУДАРСТВЕННОГО УНИВЕРСИТЕТА**

Երկրաբանություն և աշխարհագրություն 2, 2014

Геология и география

Երկրաբանություն

УДК 551.491.4

Ռ. Ս. ՄԻՆԱՍՅԱՆ, Վ. Պ. ՎԱՐԴԱՆՅԱՆ *, Օ. Ա. ԱՎԵՏԻՍՅԱՆ **

**ՈՒՐՅԱԶՈՐ-ԳՈՌԱՎԱՆ ՍՈՂԱՆՔԱՅԻՆ ՏԵՂԱՍԱՍԻ
ԶՐԱԵՐԿՐԱԲԱՆԱԿԱՆ ՊԱՅՄԱՆՆԵՐԻ ՈՒԽՈՒՄՆԱՍԻՐՈՒԹՅՈՒՆՆ
ԷԼԵԿՏՐԱՀԵՏԱԽՈՒԶԱԿԱՆ ՄԵԹՈԴՈՎ**

ԵՊՀ երկաֆիզիկայի ամբիոն, Հայաստան

Աշխատանքում բերված են Ուրցաձոր-Գոռավան տեղամասի (Վեդի գետի ջրահավաք ավազան) էլեկտրահետախուզության (ՈՒԷՉ) արդյունավետ կիրառման արդյունքները սողանքային երկույթների ուսումնասիրության համար, որոնք հատկապես ակտիվացել են հողերի ոռոգման նպատակով մազհատրալ ջրանցքի կառուցումից հետո: Որոշված է, որ սողի մակերևույթները տեղակայված են 10–12 և 20–25 մ խորություններում, քարտեզագրված է սողի մակերևույթի ռելիեֆը և տարածման սահմանները: Առաջարկված են հորատանցքերի տեղերը երկրատեխնիկական մոդելի կառուցման և սողի կայունության հաշվարկի համար:

Keywords: landslide slope map, water repellent layer, VES method, infiltrated water, ground flow, buried watershed.

Ներածություն: ՀՀ Վեդի շրջանի Գոռավան գյուղի մոտակայքում կատարվել են էլեկտրահետախուզական ուսումնասիրություններ՝ պարզաբանելու համար Ուրցաձոր-Գոռավան տեղամասի սողանքային տարածքի ինժեներակրաբանական և ջրաերկրաբանական պայմանները:

Համաձայն դաշտային դիվանական դիվանական այդ տարածքում առկա են համեմատաբար ակտիվ սողանքային երկույթներ, որոնք վտանգ են ներկայացնում տեղամասով անցնող ջրանցքին և այդ պատճառով արդյունքում առաջարկվեց ջրանցքի համապատասխան հատվածի տեղափոխում:

Տեղանքի երկրաբանաջրաերկրաբանական պայմանները: Երկրաբանագետ-մորֆոլոգիական տեսանկյունից՝ Ուրցաձոր-Գոռավան տեղամասի կտրվածքը հիմնականում ներկայացված է չորրորդական ժամանակաշրջանի գետային և բերվածքային գոյացություններով, որոնք ունեն 50–60 մ հզորություն և ներկայացված են կավերով, գլաքարերով, կավավազներով, ավազակավերով: Ջրաբանական տեսանկյունից տեղամասը բնութագրվում է Վեդի գետի ջրհավաք ավազանով, որտեղ առկա են մասնավորապես Հնավերու ստորերկրյա ջրերը:

Դաշտային աշխատանքների մեթոդիկա: Հաշվի առնելով տեղանքի երկրաբանական պայմանները, ուսումնասիրության խորությունը (մինչև 40–50 մ), երկրաֆիզիկական մեթոդներից կիրառվել է էլեկտրահետախուզության ուղղաձիգ էլեկտրական զոնավորման (ՈՒԷՉ) եղանակը, որի շափումները հնարա-

* E-mail: v.yardanyan@ysu.am

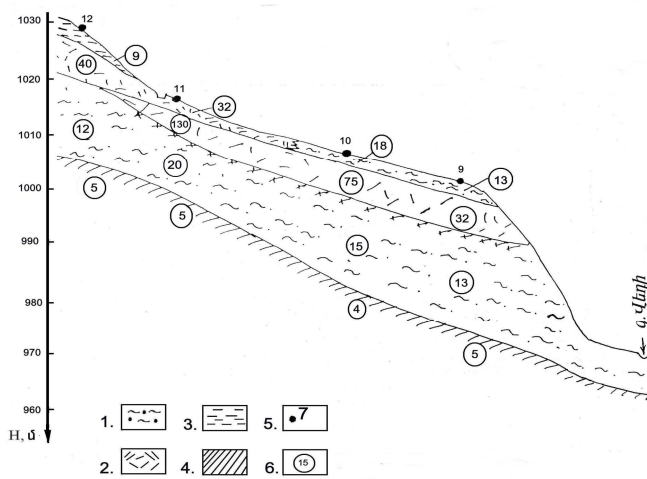
** E-mail: ofeli2@mail.ru

վորություն են տվել հաշվելու շերտերի (ապարների) թվացող էլեկտրական դիմադրությունը (ρ_p) և դրանց տեղադրման խորությունները:

Դաշտային տվյալների հիման վրա՝ կառուցվել են $\rho_p=f$ (AB) գրաֆիկներ (կորեր), որոնք հիմք են ծառայել վերջնական քանակական հաշվարկների համար: Արդյունքում կառուցվել են տեղամքի ինժեներակրաքանական պայմանների պարզաբանման քարտեզներ և կտրվածքներ [1]:

Տվյալների մշակումը և մեկնարանումը: Համեմատելով էլեկտրագոնդավորման տվյալներն առանձին հորատանցքների կտրվածքների հետ, գեռէլեկտրական շերտերը համարվել են համապատասխան լիբոլոգիական շերտերի հետ: Սողանքային լանջերի ուսումնափորության նպատակով էլեկտրագոնդավորման կետերը տեղաբաշխվել են հիմնականում ըստ առանձին երթուղիների [2]:

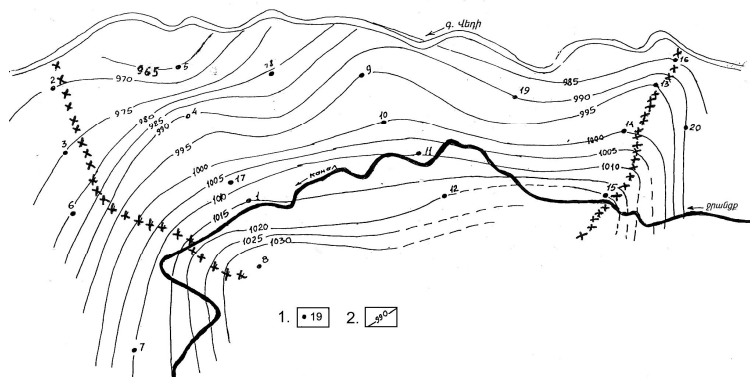
Ստացված տվյալների հիման վրա՝ կառուցվել են առանձին երկրաբանակրագիկական կտրվածքներ (նկ. 1), լոկալ ու ռեգիոնալ ջրամերժ շերտի ռելիեֆի քարտեզներ (նկ. 2, 3):



Նկ. 1: Ուրցաձոր-Գոռավան տեղամասի էլեկտրագոնդավորման կտրվածքի օրինակ (Մ 1:2500).

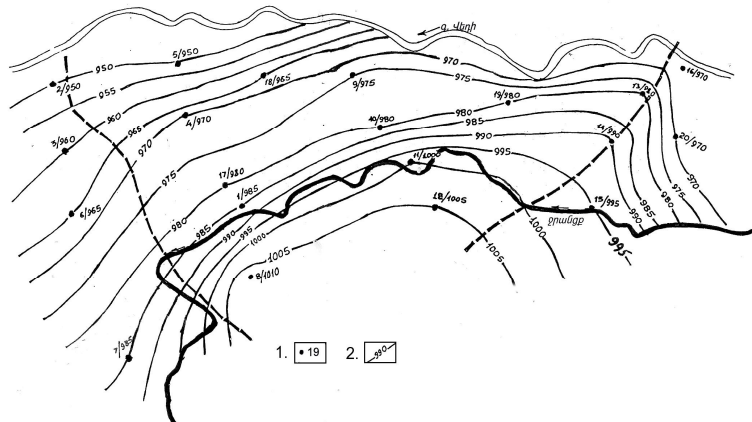
1. կավավագներ;
2. փոփոխված ավազա քարային ապարներ $\rho=30-100 \text{ Ом} \cdot \text{м}$ (սողանքային մարմին);
3. կավ-ավազակավային առաջացումներ $\rho=6-10 \text{ Ом} \cdot \text{м}$;
4. կավեր (ռեգիոնալ ջրամերժ շերտ);
5. ուղաճիկ էլեկտրագոնդավորման ($\Omega\text{Н}\cdot\Omega$) կետեր;
6. ապարների տեսակարար էլեկտրական դիմադրությունը (ρ), $\text{Ом} \cdot \text{м}$ ըստ $\Omega\text{Н}\cdot\Omega$ -ի:

Տեղային (լոկալ) և երկրատարածքային (ռեգիոնալ) ջրամերժ շերտերի (սողքի մակերևույթների) ռելիեֆների քարտեզների նկարագիրը: Կազմված քարտեզների վերլուծության հիման վրա՝ որոշվել են սողանքային մարմնի սահմանները, որոնք սահմանափակվում են քարտեզագրված “թաղված ջրաժաններով”:



Նկ. 2: Ուրցաձոր սողանքային տեղամասի լոկալ սողքի մակերևույթի քարտեզը (Մ 1:5000). 1. ուղաճիկ էլեկտրագոնդավորման ($\Omega\text{Н}\cdot\Omega$) կետեր; 2. լոկալ սողքի մակերևույթի ռելիեֆի իզոգծեր, մ:

Ստացված տվյալների վերլուծությունը ցույց է տալիս, որ սողի հնարավոր տեղաշրջի կատարվում է առանձին բյուկներով, ինչը բոյլ է տալիս ուսումնասիրվող սողանքն անվանել կոնսեկվենտ: Սողի երկու մակերեսները սպասվում են, համապատասխանաբար, 10–12 և խորության վրա՝ ներկայացված կավավազներով և 20–25 մ խորության վրա՝ արմատական կավային ապարներով: Սողանքի ներքին կառուցվածքը բավականին բարդ է: Տեղանքի նստեցման պատճառով առաջացել են ճեղքեր, որոնք տեղադրված են տեղամասի ճակատային մասում՝ գրեթե իրար զուգահեռ:



Նկ. 3: Ուրցաձոր սողանքային տեղամասի ռեզինալ սողի մակերևույթի քարտեզը (Մ 1:5000): 1. ուրցաձիգ էլեկտրազոնդավորման (ՈՒԷԶ) կետեր; 2. ռեզինալ սողի մակերևույթի ռեզինի իզոգծեր, մ:

Համաձայն կառուցված գեոէլեկտրական կտրվածքների, ռեզինալ ջրամերժ շերտի լոկալ ու ռեզինալ սողի մակերեսների քարտեզների, Ուրցաձորի սողանքը հնարավոր է առաջացած լինի ջրանցքի կառուցման հետևանքով՝ ապարների լարվածության վիճակի փոփոխություններուց: Սողանքի ակտիվացմանն աջակցել է նաև հիդրոստատիկ ճնշումը, հատկապես անձրևներից և ճնհալքից հետո, եթե բարձրանում է գրունտային ջրերի մակարդակն ուսումնասիրված տեղամասում, որտեղ առկա են ճեղքեր, ժայռային, կիսաժայռային և կավային ապարները: Հատկապես անհրաժեշտ է նշել նաև ներծծված ջրերի հոսքի առկայությունը գործող ջրանցքից [3]:

Եզրակացություն: Վեղու շրջանի Ուրցաձոր–Գոռավան տեղամասի սողանքային մարմնի առկայության և ուսումնասիրման նպատակով կիրառված գեոէլեկտրական եղանակի դաշտային նյութերի վերլուծության հիման վրա:

• Քարտեզագրվել է՝ սողանքային մարմնի տարածական դիրքը, սողանքային մարմնի ինժեներակրաքանական կառուցվածքը, շերտերի հզորությունը, տեղադրման խորությունը և սողանքային մարմնի հնարավոր սահմանները: Առանձնացվել են սողի երկու մակերեսներ՝ լոկալ՝ 10–12 մ և ռեզինալ՝ 20–25 մ խորությունների վրա:

- Սողանքային մարմնի տարածում հայտնաբերվել են շերտերի նստեցման երևույթներ, որոնք ուղեկցվել են խզվածքների (ճեղքերի) առաջացմանը:
- Այսցուցվել է, որ ներծծված ջրերը ներքափականում են սողանքային մարմնի տարածք և սնվում են հիմնականում տարածքով անցնող ջրանցքից:
- Կատարված էլեկտրահետախուզական ուսումնասիրությունների արդյունքների և գոյություն ունեցող ինժեներակրաքանական և ջրաերկրաբանական

նյութերի համատեղ վերլուծությունները, հնարավորություն են տալիս որոշելու այն հավանական տեղամասերը, որտեղ սողանքային երևույթների տարածական դիրքի ճշգրտման և հնարավոր սողքի կայունության հաշվարկների նպատակով պետք է կատարել հորատում:

Ստացվել է՝ 11.12.13

ԳՐԱԿԱՆՈՒԹՅՈՒՆ

1. **Минасян Р.С.** Изучение подземных вод вулканических областей геофизическими методами. М.: Недра, 1989, с. 197.
2. **Огильви А.А.** Основы инженерной геофизики. М.: Недра, 1989, с. 346.
3. **Минасян Р.С., Варданян В.П.** Палеорельеф и распределение подземного стока Центрального вулканического нагорья Армении. Ер.: Асогик, 2003, с. 151.

Р. С. МИНАСЯН, В. П. ВАРДАНЯН, О. А. АВЕТИСЯН

ИССЛЕДОВАНИЕ ГИДРОГЕОЛОГИЧЕСКИХ УСЛОВИЙ ОПОЛЗНЕВОГО УЧАСТКА УРЦАДЗОР–ГОРАВАН МЕТОДОМ ЭЛЕКТРОРАЗВЕДКИ

Р е з ю м е

В работе приведены результаты эффективного применения электроразведки (ВЭЗ) для исследования оползневых процессов на участке Урцадзор–Гораван (водосборный бассейн р. Веди), которые активизировались в особенности после строительства здесь магистрального канала для обводнения земель. Оползневые сдвиги поверхности установлены на глубинах 10–12 м и 20–25 м, картирован рельеф оползневых поверхностей и границы их распространения. Рекомендованы местоположения скважин в связи с составлением геотехнической модели для расчета устойчивости оползневого склона.

R. S. MINASYAN, V. P. VARDANYAN, O. A. AVETISYAN

STUDY OF HYDROGEOLOGICAL CONDITIONS OF URTSADZOR–ORAVAN LANDSLIDE AREA BY ELECTRO EXPLORATION METHOD

S u m m a r y

In the article the results of effective application of electroexploration (Vertical Elektro Sounding (VES) method) for the study of landslide processes in Urtsadzor–Goravan area (catchment of R. Vedi) are presented, which were intensified especially after the construction of the main channel for irrigation of lands. Surface landslides shifts are installed at depths of 10–12 m and 20–25 m, relief of the landslide surfaces and boundaries of their distribution are mapped. Locations of wells are recommended in connection with the preparation of geotechnical model for calculating the stability of landslide slope.